

| | |
|-------------------|---|
| العنوان: | مقارنة بعض الاختبارات الخاصة بنموذج الانحدار الذاتي الطبيعي غير المستقر من الرتبة الاولى : دراسة محاكاة |
| المصدر: | المجلة العراقية للعلوم الإحصائية |
| الناشر: | جامعة الموصل - كلية علوم الحاسوب والرياضيات |
| المؤلف الرئيسي: | الناصر، عبدالمجيد حمزة |
| مؤلفين آخرين: | جعمة، أحلام محمد(م . مشارك) |
| المجلد/العدد: | ع 12 |
| محكمة: | نعم |
| التاريخ الميلادي: | 2007 |
| الصفحات: | 1 - 33 |
| رقم MD: | 419533 |
| نوع المحتوى: | بحوث ومقالات |
| قواعد المعلومات: | EcoLink |
| مواضيع: | السلسل الزمنية ، التحليل الاحصائي ، الاساليب الاحصائية ، الجوانب الاقتصادية |
| رابط: | https://search.mandumah.com/Record/419533 |

مقارنة بعض الاختبارات الخاصة بنموذج
الانحدار الذاتي الطبيعي غير المستقر من الرتبة الاولى
(دراسة محاكاة)

* احلام احمد جمعة*

* عبدالمجيد حمزة الناصر*

المستخلص

ان دراسة بناء النماذج وتحليلها اعطت للسلسل الزمنية اهمية كبيرة ودورها الفعال في التخطيط الاقتصادي وفي التطبيقات الطبية والهندسية والمناخية والفيزيائية وغيرها. وان الكثير من السلسل الزمنية سواء في الاقتصاد أو المالية هي عمليات غير مستقرة.

لذا تناول البحث نموذج الانحدار الذاتي الطبيعي AR(1) غير المستقر لما له من اهمية في عملية بناء وتحليل السلسلة الزمنية . واجراء المقارنة تجريبياً بين الاختبارات الخاصة بالاستقرارية في النماذج ذات الاتجاه القطعي واختبار جذر الوحدة لحالتين مع الاختبار المقترن لجذر الوحدة .

Comparison of Some Tests on Non-Stationary Gaussian AR (1) (A Simulation Study)

Abstract

A condense study was done on non-stationary Gaussian AR(1), concerning testing the stationarity, the unit root and deterministic trend model . A proposed test was given and a comparison was done using where some new results are obtained.

* استاذ/كلية الادارة والاقتصاد/جامعة بغداد

** استاذ مساعد/ كلية الادارة والاقتصاد/جامعة بغداد

1 - السلاسل الزمنية غير المستقرة Non- Stationary Time Series

ان دراسة بناء النماذج وتحليلها اعطت للسلاسل الزمنية اهمية كبيرة ودورها الفعال في استخدامها في التخطيط الاقتصادي وفي التطبيقات الجغرافية والهندسية والفيزيائية.

ويكون سلوك السلسلة الزمنية غير مستقر عندما تقع جذور المعادلة $[φ(B)=0]$ داخل دائرة الوحدة التي نصف قطرها واحد (Inside Unit Circle) وتدعى هذه بالسلاسل الزمنية غير المستقرة Non- Stationary Time Series.

فالباحثان (Fuller و Dickey) ^[3] تناولا عام 1979 نماذج السلاسل الزمنية غير المستقرة Non Stationary Time Series Models التي لها صفة السير العشوائي Random Walk و درسا ثلاثة أنواع لنموذج AR(1). تناولا خصائص المقدر للمعلمة ρ تحت فرضية $\rho = \pm 1$ و مقارنة قوة الاختبار باستخدام المحاكاة. ثم درسا في عام 1981 اختبار نسبة الامكان الاعظم Likelihood في نموذج AR(1) عند فرضية جذر الوحدة Unit Root. وبحثا في غاية التوزيعات لاحصاءات الاختبار تحت فرضية عدم واثتقاق LR لمعالم النماذج المختلفة وحساب قوتهم مع المقارنة.

كما توصل الباحثان Nelson و Plosser عام (1982)^[4] إلى أن الكثير من السلاسل الزمنية سواء في الاقتصاد أو المالية هي عمليات غير مستقرة.

اما الباحثان (Said و Dickey) ^[10] فقد تطرقوا عام 1984 إلى تطوير اختبار جذر الوحدة، وبيناً أن من الممكن تقريب نموذج ARIMA (p,1,q) عن طريق الانحدار الذاتي وإن هذا يولد توزيعات مشابهة للتي جدولها (Dickey و ذكرها (Fuller) (1976).

وتناول الباحثان (Toda و Oya) ^[8] عام 1998 طرفيتين لاختبارات جذر الوحدة هما DF ومضاعف لاكرانج LM Lagrange Multiplier لسلسلة الانحدار الذاتي في اختبار فرضيتين لـ H_0 الأولى عند احتواء السلسلة الزمنية على جذر الوحدة من دون انحراف Without Drift والثانية احتواء السلسلة

الزمنية على جذر الوحدة مع انحراف . واقتراحا اختبارات لجذر الوحدة تجمع ما بين الطريقتين.

اما الباحث (Hansen)^[7] فقد قدم عام 2002 دراسة تناول فيها السلاسل الزمنية الأحادية المتغير Univariate Time Series وتطرق إلى نموذج AR وإلى شروط الاستقرارية وجذر الوحدة متناولاً نظرية DF وعلاقتها بـ (ADF) عند افتراض $\alpha_0 = 0$ التي تمثل معلمة الانحدار الخطى.

إلى ذلك يهدف البحث الى اجراء مقارنة بين الاختبارات المستخدمة للسلاسل الزمنية غير المستقرة مع الاختبار المقترن والخاص بجذر الوحدة، والتي لها من اهمية في عملية بناء وتحليل السلسلة الزمنية مستخدماً "في ذلك نموذج الانحدار الذاتي الطبيعي من الرتبة الاولى .

1-1 : السلسلة الزمنية غير المستقرة في الوسط الحسابي

يقصد بالسلسلة الزمنية غير المستقرة في الوسط الحسابي^{[11],[2]} والتي ليس لها استقرارية بسبب كون الاتجاه العام (Trend) احد عناصرها، مما يجعل لها عدة اوساط تتذبذب حولها البيانات حتى عندما تكون السلسلة متجانسة. فهذه النماذج توصف بان لها سلوكاً غير مستقر ومتجانس (Non Stationary) وتصنف الى ما يلي:-

1. النماذج عشوائية الاتجاه والفرقوقات

Stochastic trend Models and Differencing

يتم اخذ عدد مناسب من الفرقوقات للعملية غير المستقرة في الوسط الحسابي (Backword Differences) ويكون باستخدام عامل الفرقوقات الخلفية (Backword Differences Operator) ويرمز له (∇) ويكون:-

$$\nabla Z_t = Z_t - Z_{t-1} = (1 - B) Z_t$$

وقد تصبح السلسلة الزمنية مستقرة بعد اخذ (d) من الفرقوقات أي

$$W_t = \nabla^d Z_t \quad , \quad d \geq 1$$

معنى ذلك اذا كانت لدينا عملية انحدار ذات (B) $\Psi(B)$ التي توصف السلوك

الاتي:-

$$\Psi(B)Z_t = \phi(B)(1-B)^d Z_t$$

فإن العملية أعلاه يمكن كتابتها بالصيغة الآتية:-

$$\Psi(B)Z_t = \phi(B)\nabla^d Z_t$$

$$i.e \quad \phi(B)\nabla^d Z_t = a_t \quad \dots \dots \dots \quad (1-1)$$

ويطلق على الصيغة رقم (1-1) بنموذج الانحدار الذاتي المندمج

IAR (p, d) ويرمز له بـ Integrated Autoregressive Model

والذي هو حالة خاصة من ARIMA(p,d,q).

2: النماذج ذات الاتجاه القطعي Deterministic Trend Models

ان دالة الوسط الحسابي لعملية غير مستقرة ممكن ان تمثل

بالاتجاه القطعي Deterministic Trend عند الزمن. [6],[11]

وأن هذه الدالة E(Z_t)= μ_t الموجودة في الاتجاه الخطى Linear Trend معرفة على النحو

الاتي:-

$$\mu_t = \alpha_0 + \alpha_1 t \quad \dots \dots \dots \quad (1-2)$$

ومن الممكن هنا ان يستخدم نموذج الاتجاه القطعي الخطى

وكما يأتي:- (Deterministic Linear Trend Model)

$$Z_t = \alpha_0 + \alpha_1 t + a_t \quad \dots \dots \dots \quad (1-3)$$

a_t : تمثل متتابعة التشويش الابيض White Noise بوسط حسابي يساوي صفرأ

وتباين ثابت σ_a^2 .

وتسمى الصيغة رقم (1-3) بنموذج الاتجاه الزمني البسيط Simple Time Trend

.Model

ان الاخطاء العشوائية $\{a_t\}$ لها توزيعات طبيعية Gaussian عندها

تكون المقدرات لـ $\hat{\alpha}_0, \hat{\alpha}_1$ ايضاً طبيعية Gaussian. ويمكن اجراء الاختبارات

الاحصائية المعروفة لمختلف حجوم العينة.

وباستخدام نظرية الغاية المركزية Central Limit Theorem فان:-

$$\frac{\hat{\alpha}_1 - \hat{\alpha}_{10}}{\hat{\sigma}_{\hat{\alpha}_1}} \text{ asymptotically } N(0,1) \quad \dots \dots \dots \quad (1-4)$$

حالة اختبار الفرضية الآتية:^[6]

$$\left. \begin{array}{l} H_0 : \alpha_1 = \alpha_{10} \\ v.s. H_1 : \alpha_1 \neq \alpha_{10} \end{array} \right] \quad \dots \dots \dots \quad (1-5)$$

تستخدم الاحصاءة الآتية:

$$t = \frac{\hat{\alpha}_1 - \alpha_{10}}{\sqrt{\hat{\sigma}^2 [0 \ 1] (t't)^{-1} \begin{bmatrix} 0 \\ 1 \end{bmatrix}}} \quad \dots \dots \dots \quad (1-6)$$

$$\hat{\sigma}^2 = \left[\frac{1}{n-2} \right] \sum_{t=1}^n (Z_t - \hat{\alpha}_0 - \hat{\alpha}_1 t)^2 \quad \dots \dots \dots \quad (1-7)$$

$\hat{\alpha}_1, \hat{\alpha}_0$: تمثل مقدري OLS للمعلمتين α_1, α_0 على التوالي

$t't$: تمثل مصفوفة تتضمن:-

$$t't = \sum_{i=1}^n t_i t_i' = \begin{bmatrix} \sum 1 & \sum t \\ \sum t & \sum t^2 \end{bmatrix} = \begin{bmatrix} n & n(n+1)/2 \\ n(n+1)/2 & n(n+1)(2n+1)/6 \end{bmatrix} \quad \dots \dots \dots \quad (1-8)$$

بضرب البسط والمقام بصيغة رقم (1-6) بالمقدار $n^{3/2}$ فان

$$t = \frac{n^{3/2}(\hat{\alpha}_1 - \alpha_{10})}{\sqrt{\hat{\sigma}^2 [0 \ n^{3/2}] (t't)^{-1} \begin{bmatrix} 0 \\ n^{3/2} \end{bmatrix}}} \quad \frac{1}{2}$$

وباستخدام المصفوفة الافتراضية الآتية:^[6]

$$Z_t = \begin{bmatrix} \sqrt{n} & 0 \\ 0 & n^{3/2} \end{bmatrix} \quad \dots \dots \dots \quad (1-9)$$

فان:-

$$t = \frac{n^{3/2}(\hat{\alpha}_1 - \alpha_{10})}{\left\{ \hat{\sigma}^2 [0 \ 1] Z_t (t't)^{-1} Z_t \begin{bmatrix} 0 \\ 1 \end{bmatrix} \right\}^{1/2}}$$

وبما ان:-

$$\left[Z_t^{-1} \left(\sum_{i=1}^n t_i t_i' \right) Z_t \right] \xrightarrow{p} Q \quad (p : \text{Converge In Probability})$$

حيث ان:-

$$Q = \begin{bmatrix} 1 & 1/2 \\ 1/2 & 1/3 \end{bmatrix}$$

وكذلك :-

$$Z_t (t't)^{-1} Z_t = \left[Z_t^{-1} (t't) Z_t^{-1} \right]^{-1} \xrightarrow{p} Q^{-1} \quad \dots \dots \dots \quad (1-10)$$

وباستخدام الصيغة رقم (1-10) فان:-

$$t \xrightarrow{p} \frac{n^{3/2}(\hat{\alpha}_1 - \alpha_{10})}{\left\{ \sigma^2 [0 \ 1] Q^{-1} \begin{bmatrix} 0 \\ 1 \end{bmatrix} \right\}^{1/2}}$$

$$t \xrightarrow{p} \frac{n^{3/2}(\hat{\alpha}_1 - \alpha_{10})}{\sigma \sqrt{q^{22}}} \quad \text{asymptotically } N(0,1) \quad \dots \dots \dots \quad (1-11)$$

اذ ان q^{22} : يمثل العنصر ذا الموضع $(2 * 2)$ في مصفوفة Q .
 لذا فان الاختبار t لفرضية $\alpha_1 = \alpha_{10}$ سيعطي استدلالاً معنوياً من الناحية التقريرية.

* للمزيد من التفاصيل انظر المصدر رقم [6].

2-1 جذر الوحدة في نموذج الانحدار الذاتي من الرتبة الاولى (السير العشوائي) Unit Root in the First Order Autoregressive Model (Random Walk)

يعتبر اختبار الجذور Roots من الاختبارات المهمة كونه يبين عدد الجذور المساوية الى الواحد التي تقابل عدد الفروقات اللازمة للسلسلة الزمنية لكي تتحول الى الاستقرارية. ان اسلوب اخذ الفروقات اللازمة كي تتحول السلسلة الزمنية الى الاستقرارية هو اسلوب غير دقيق الى حد ما، لكون احتمالية اخذ عدد من الفروقات اكثر من المطلوب يؤدي الى عدم دقة العمل لذا فان اختبار الجذور هو اسلوب لمعرفة عدد الفروقات اللازمة للسلسلة المدروسة بتطبيق الطرائق الاحصائية الخاصة بهذا الاختبار والذي بدوره يعطي نتائج افضل من الطريقة التقليدية (طريقة Differences).

ان الكثير من السلاسل الزمنية^[6] ولا سيما الاقتصادية تكون افضل تميزاً من خلال جذور الوحدة Unit Roots عن تميزها بالطرائق الاخرى. ولبيان ما اذا كانت السلسلة الزمنية لها جذر الوحدة فان المناقشة الآتية تكون ذات أهمية:-

ان بوجود - لكل عملية لجذر الوحدة - عملية مستقرة سيكون من المتعدد تميزها من تمثيل جذر الوحدة لا ي حجم. فان العملية المستقرة تكون موجودة من خلال وضع احد الجذور الذاتية Eigen Values بالقرب من الواحد. ولكن ليس بشكل مساوٍ لها تماماً. لو كان لدينا ما يأتي:-

$$\left. \begin{array}{l} H_0 : Z_t = Z_{t-1} + a_t \quad , \quad \phi_1 = 1 \\ \text{v.s.} \quad H_1 : Z_t = \phi_1 Z_{t-1} + a_t \quad , \quad |\phi_1| < 1 \end{array} \right\} \dots (1-12)$$

ان الفترة L للتنبؤ المستقبلي للصيغة تحت فرضية H_0 هي:-

$$\hat{Z}_{t+L/t} = Z_t \dots (1-13)$$

وان متوسط مربعات الخطأ :-

$$E(Z_{t+L} - \hat{Z}_{t+L/t})^2 = L\sigma^2 \dots (1-14)$$

بينما التنبؤ المستقبلي للصيغة تحت الفرضية البديلة H_1 فتكون

$$\hat{Z}_{t+L/t} = \phi_1^L Z_t \quad \dots(1-15)$$

مع MSE يساوي :

$$E(Z_{t+L} - \hat{Z}_{t+L/t})^2 = (1 + \phi_1^2 + \phi_1^4 + \dots + \phi_1^{2(L-1)}) \sigma^2$$

ان هناك قيمة لـ ϕ_1 قريبة بصورة كافية من Sufficiently Close الواحد بحيث تكون المضامين الملحوظة للتمثيل المستقر تحت فرضية H_1 قريبة بصورة اعتباطية Arbitrarily Close من عملية جذر الوحدة تحت فرضية H_0 . وتوجد اربع حالات في اختبار جذر الوحدة وهي على التوالي^[6].

-:Case (1) الحالة الاولى

$$H_0 : Z_t = Z_{t-1} + a_t$$

$$v.s. \quad H_1 : Z_t = \phi_1 Z_{t-1} + a_t$$

-:Case (2) الحالة الثانية

$$H_0 : Z_t = Z_{t-1} + a_t$$

$$v.s. \quad H_1 : Z_t = \alpha_0 + \phi_1 Z_{t-1} + a_t$$

-: Case (3) الحالة الثالثة

$$H_0 : Z_t = \alpha_0 + Z_{t-1} + a_t$$

$$v.s. \quad H_1 : Z_t = \alpha_0 + \phi_1 Z_{t-1} + a_t$$

-:Case (4) الحالة الرابعة

$$H_0 : Z_t = \alpha_0 + Z_{t-1} + a_t$$

$$v.s. \quad H_1 : Z_t = \alpha_0 + \phi_1 Z_{t-1} + \delta_t + a_t$$

حيث ان:-

α_0 : يمثل الحد الثابت Constant

ϕ_1 : تمثل معلمة نموذج AR(1)

δ_t : يمثل الانحراف Drift

a_t : يمثل الخطأ العشوائي الذي يتوزع طبيعياً متقارباً بوسط حسابي صفر وتبين

$$\sigma_a^2$$

وسنتناول الحالتين الاولى والثانية فقط في عملية الاختبار.

1. الحالة الاولى: عندما يكون النموذج من دون الحد الثابت او دون اتجاه زمني في الانحدار وان العملية الفعلية هي السير العشوائي^{*} وتدعى بـ **.Unit Root Case (1)**

ان نموذج الانحدار الذاتي من الرتبة الاولى الخالي من الحد الثابت او من الاتجاه الزمني Time Trend على وفق الصيغة الآتية:-

$$Z_t = \phi_1 Z_{t-1} + a_t \quad \dots \dots \dots \quad (1-16)$$

حيث ان

$$a_t \sim IND(0, \sigma^2 a)$$

وان تقدير المرربعات الصغرى OLS للمعلمات كما يأتي:-

$$\hat{\phi}_1 = \frac{\sum_{t=1}^n Z_{t-1} Z_t}{\sum_{t=1}^n Z_{t-1}^2} \quad \dots \dots \dots \quad (1-17)$$

وفي حالة كون قيمة $|\phi_1| < 1$ فان

$$\sqrt{n} (\hat{\phi}_1 - \phi_1) \xrightarrow{L} N(0, (1 - \phi_1^2)) \quad (L: \text{Converge In Law})$$

أن الصيغة اعلاه تتحقق ايضاً عندما $\phi_1 = 1$ بحيث ان قيمة التباين تساوي صفرأً أي ان:-

$$\sqrt{n} (\hat{\phi}_1 - 1) \xrightarrow{P} 0$$

فعندها $\phi_1 = 1$ فان الصيغة رقم (1-17) تضرب بـ n للحصول على التوزيع التقاربي لـ $\hat{\phi}_1$. وللتوصل الى افضل اختبار للفرضية الاحصائية الآتية:

* انظر المصادر ذات الارقام التالية : [9, 7, 6, 5, 3].

$$\left. \begin{array}{l} H_0: \phi_1 = 1 \\ v.s. \quad H_1: \phi_1 < 1 \end{array} \right\} \dots \dots \dots \quad (1-18)$$

لدينا

$$b - \beta = \left(\sum_{t=1}^n Z_t Z'_t \right)^{-1} \left(\sum_{t=1}^n Z_t a_t \right) \quad \text{اي ان :}$$

$$\hat{\phi}_1 - \phi_1 = \left(\sum_{t=1}^n Z_t Z'_t \right)^{-1} \left(\sum_{t=1}^n Z_t a_t \right)$$

بما ان المتغير من نوع الاحادي Univariate فان :-

$$\hat{\phi}_1 - \phi_1 = \left(\sum_{t=1}^n Z_{t-1}^2 \right)^{-1} \left(\sum_{t=1}^n Z_{t-1} a_t \right) \dots \dots \quad (1-19)$$

وعند التعويض لقيمة $\phi_1 = 1$ فان الصيغة رقم (1-19) تصبح:-

$$\hat{\phi}_1 - 1 = \frac{\sum_{t=1}^n Z_{t-1} a_t}{\sum_{t=1}^n Z_{t-1}^2}$$

كما ان:-

$$n(\hat{\phi}_1 - 1) = \frac{(1/n) \sum_{t=1}^n Z_{t-1} a_t}{(1/n^2) \sum_{t=1}^n Z_{t-1}^2} \dots \dots \quad (1-20)$$

و حسب فرضية Z_t^* التي تتبع نموذج السير العشوائي وباستخدام النتيجة
الخاصة بها . فان بسط الصيغة اعلاه يصبح :- (b)

* للمزيد من التفاصيل حول الفرضية ونتيجتي (b) و (e) انظر المصدر رقم [6] .

$$n^{-1} \sum_{t=1}^n Z_{t-1} a_t \xrightarrow{L} (1/2) \sigma^2 \left\{ [w(1)]^2 - 1 \right\} \quad \dots \dots \dots (1-21)$$

ومن النتيجة (e) الخاصة بفرضية Z_t فان مقام الصيغة (1-20) هي كما ياتي:-

$$n^{-2} \sum_{t=1}^n Z_{t-1}^2 \xrightarrow{L} \int_0^1 [w(r)]^2 dr \quad \dots \dots \dots (1-22)$$

وبافتراض ان Z_t متتابعة من المتغيرات العشوائية ذات بعد (n^*) . وتحت

فرضية عدم فان مقدار $\hat{\phi}_1$ يكون على النحو الاتي:-

$$n(\hat{\phi}_1 - 1) \xrightarrow{L} \frac{(1/2) \left\{ [w(1)]^2 - 1 \right\}}{\int_0^1 [w(r)]^2 dr} \quad \dots \dots \dots (1-23)$$

حيث ان:-

$[w(1)]^2$: تمثل الحركة البراونية القياسية Standard Brownian

Motion وهي عملية تصادفية بالزمن المستمر لكل قيمة t بحيث $t \in [0,1]$ وان لها توزيع مربع كاي χ^2 بدرجة حرية واحدة.

عندما يكون $[w(1)]^2$ كبيراً فان مقام الصيغة رقم (1-23) سيكون كبيراً

ايضاً. النتيجة هي ان التوزيع المحاذى Limiting Distribution يكون له التواء Skewed من الجانب اليسرى.

وفي حالة الاستقرارية فان تقدير $\hat{\phi}_1$ يكون له تحيز Biased عند

العينات الصغيرة. كما ان غاية التوزيع $(\hat{\phi}_1 - \phi_1) / \sqrt{n}$ تكون متماثلة Symmetric حول الصفر.

اما في حالة وجود القيد $\phi_1 = 1$ فان غاية التوزيع $(\hat{\phi}_1 - 1) / n$ تكون

متماثلة مع ضعف القيم السالبة بالنسبة الى القيم الموجبة.

و عملياً فان القيم الحرجة للمتغير العشوائي في الصيغة (1-23) توجد من خلال حساب توزيع العينة-الصغيرة $[1 - \hat{\phi}_1(n)]$ لـ n المعطاة بفرض ان $\{a_t\}$ لها توزيع طبيعي Gaussian. وهذا ممكن عمله اما بطريقة مونتي كارلو Monte Carlo^[6] كما في القيم الحرجة المسجلة في Fuller (1976) او باستخدام ارقام معينة لبيانات محددة كما في Savin (1981) و Svans (1981) وعندما تكون n كبيرة فان القيم هذه توصف ايضاً التوزيع التقريري عندما لا يكون للاخطاء العشوائية توزيع طبيعي Non-Gaussian.

وتستخدم احصاءة اخرى لاختبار الفرضية (1-18) التي تعتمد اساساً على مقدرات المربعات الصغرى الاعتيادية OLS وهي:-

$$\hat{\tau} = \frac{(\hat{\phi}_1 - 1)}{\hat{\sigma}_{\hat{\phi}_1}} = \frac{(\hat{\phi}_1 - 1)}{\left\{ \hat{\sigma}^2 \div \sum_{t=1}^n Z_{t-1}^2 \right\}^{1/2}} \quad \dots \dots \dots \quad (1-24)$$

حيث ان

$$\hat{\sigma}^2 = \sum_{t=1}^n (Z_t - \hat{\phi}_1 Z_{t-1})^2 / (n - 1)$$

على الرغم من ان الصيغة رقم (1-24) تحسب في الحالات الاعتيادية. ولكن عندما العملية مصنفة بـ $\phi_1 = 1$ فان هذه الصيغة ليس لها حدود التوزيع الطبيعي Limiting Gaussian Distribution ولا يجاد حدود التوزيع الملائم نلاحظ بانها مكافئة الى الشكل الاتي:-

$$\hat{\tau} = n(\hat{\phi}_1 - 1) \left\{ n^{-2} \sum_{t=1}^n Z_{t-1}^2 \right\}^{1/2} \div \left\{ \hat{\sigma}^2 \right\}^{1/2} \quad \dots \dots \dots \quad (1-25)$$

او بالتعويض من الصيغة (1-20) فان:

$$\hat{\tau} = \frac{n^{-1} \sum_{t=1}^n Z_{t-1} a_t}{\left\{ n^{-2} \sum_{t=1}^n Z_{t-1}^2 \right\}^{1/2} \left\{ \hat{\sigma}^2 \right\}^{1/2}} \quad \dots \dots \dots \quad (1-26)$$

ان الاتساق Consistency الى $\hat{\phi}_1$ يؤدي الى ان $\hat{\sigma}^2 \xrightarrow{P} \sigma^2$. ومن الصيغتين رقم (1-21) ورقم (1-22) عندما $n \rightarrow \infty$ فان:

$$\tau \xrightarrow{L} \frac{\left(\frac{1}{2}\right)\sigma^2\left\{[w(1)]^2 - 1\right\}}{\left\{\sigma^2 \int_0^1 [w(r)]^2 dr\right\}^{\frac{1}{2}}} = \frac{\left(\frac{1}{2}\right)\left\{[w(1)]^2 - 1\right\}}{\left\{\int_0^1 [w(r)]^2 dr\right\}^{\frac{1}{2}}} \quad \dots \quad (1-27)$$

و عليه فان الصيغتين (23-1) و رقم (1-27) هما صيغتان لاختبار Fuller لـ Unit Roots وماخوذة في الاساس من Dickey Dickey .(1979)

وأن الجداول الاحصائية الخاصة بتوزيع الصيغتين رقم (20-1) ورقم (1-26) ولحجم عينة (n) معين ومستوى دلالة (α) معين، مسجلة في جداول خاصة لـ Dickey-Fuller Case(1). وعندما تقترب الجذور إلى الواحد فهذا يتطلب عينات كبيرة جداً لكي يكون التوزيع مقارباً إلى الطبيعي. في حالة $\phi_1 = 1$ فإن القيمة المقدرة تقترب في الاحتمالية Converges In Probability اسرع بكثير إلى القيمة الفعلية مما لو كانت القيمة $|\phi_1| < 1$.

2. الحالة الثانية: - عند وجود الحد الثابت في النموذج وبدون الاتجاه الزمني في الاتحدار، وان العملية الفعلية هي السير العشوائي* وتدعى بـ Unit Root Case (2).

لدينا العملية الطبيعية Gaussian للانحدار الذاتي (AR(1)) الآتية:-

$$Z_t = \alpha_0 + \phi_1 Z_{t-1} + a_t \quad \dots \quad (1-28)$$

حيث إن:-

$$a_t \sim \text{IND}(0, \sigma^2_a)$$

ان تقدیرات المربعات الصغری الاعتبادیة OLS لمعلمات النموذج تكون

$$\begin{bmatrix} \hat{\alpha}_0 \\ \hat{\phi} \end{bmatrix} = \begin{bmatrix} n & \sum Z_{t-1} \\ \sum Z_{t-1} & \sum Z_{t-1}^2 \end{bmatrix}^{-1} \begin{bmatrix} \sum Z_t \\ \sum Z_{t-1} Z_t \end{bmatrix} \quad \dots \quad (1-29)$$

* انظر المصادر ذات الارقام الآتية: [9, 6, 5, 3].

وتحت الفرضية القائلة ان:-

$$H_0: \alpha_0 = 0, \phi_1 = 1 \quad \dots \dots \dots \quad (1-30)$$

فإن تقديرات OLS لمعاملات النموذج تكون

$$b - \beta = \left[\sum_{t=1}^n Z_t Z'_t \right]^{-1} \left[\sum_{t=1}^n Z_t a_t \right] \quad \dots \quad (1-31)$$

أے ان:-

$$\begin{bmatrix} \hat{\alpha}_0 \\ \hat{\phi} \end{bmatrix} = \begin{bmatrix} n & \sum Z_{t-1} \\ \sum Z_{t-1} & \sum Z_{t-1}^2 \end{bmatrix}^{-1} \begin{bmatrix} \sum a_t \\ \sum Z_{t-1} a_t \end{bmatrix} \quad \dots \dots \dots (1-32)$$

ومن فرضية Z_t^* التي تتبع نموذج السير العشوائي وباستخدام النتيجة (d) من الفرضية فإن:-

$$n^{-3/2} \sum Z_{t-1} \xrightarrow{L} \sigma \int_0^1 w(r) dr \quad \dots \dots \dots \quad (1-33)$$

وبعاره اخرى فان

$$\sum Z_{t-1} = O_p(n^{3/2})$$

- وبالتالي من نتائج الصيغتين رقم (21-1) ورقم (22-1) يتحقق ما يأتي:-

$$\sum Z_{t-1} a_t = O_p(n)$$

$$\sum Z_{t-1}^2 = O_p(n^2)$$

ومن نتيجة (a) لفرضية Z_t التي تتبع نموذج السير العشوائي فإن

$$\sum a_t = O_p\left(n^{1/2}\right)$$

وعليه فان مقدرات $\hat{\alpha}_0$, $\hat{\phi}_1$ لها معلمات مختلفة للتقريب Different

.Rates Of Convergence

وأيضاً يمكن التعبير عن ذلك بـ Premultiplying للصيغة رقم (31-1) بالمصفوفة

حیث ان:

$$Z_n = \begin{bmatrix} n^{\frac{1}{2}} & 0 \\ 0 & n \end{bmatrix} \quad \dots \dots \dots \quad (1-34)$$

* للمزيد من التفاصيل حول الفرضية ونتيجتي (d) و (a) انظر المصدر رقم [6].

ينتج بان:-

$$\begin{bmatrix} n^{1/2} \hat{\alpha} \\ n(\hat{\phi} - 1) \end{bmatrix} = \begin{bmatrix} 1 & n^{-3/2} \sum Z_{t-1} \\ n^{-3/2} \sum Z_{t-1} & n^{-2} \sum Z_{t-1}^2 \end{bmatrix}^{-1} \begin{bmatrix} n^{1/2} \sum a_t \\ n^{-1} \sum Z_{t-1} a_t \end{bmatrix} \dots (1-35)$$

وباستخدام الصيغة رقم (1-33) والصيغة رقم (1-22). فان التوزيع

التقاربي Asymptotic Distribution لـ الصيغة رقم (1-35) سيكون

$$\begin{bmatrix} n^{1/2} \hat{\alpha}_0 \\ n(\hat{\phi}_1 - 1) \end{bmatrix} \xrightarrow{L} \begin{bmatrix} \sigma & 0 \\ 0 & 1 \end{bmatrix} \begin{bmatrix} 1 & \int w(r) dr \\ \int w(r) dr & \int (w(r))^2 dr \end{bmatrix}^{-1} \begin{bmatrix} w(1) \\ (1/2) \{ [w(1)]^2 - 1 \} \end{bmatrix}$$

وعليه فان

$$n(\hat{\phi}_1 - 1) \xrightarrow{L} \frac{\left(\frac{1}{2}\right)\{[w(1)]^2 - 1\} - w(1) \int w(r) dr}{\int [w(r)]^2 dr - [\int w(r) dr]^2} \dots (1-36)$$

وهذه الصيغة تختلف عن الصيغة رقم (1-23) لأنها تتضمن الحد الثابت

α_0 في التوزيع حيث ان الصيغة رقم (1-36) لها توزيع تقاربي.

وعند حساب الصيغة اعلاه تقارن مع جداول خاصة لـ Dickey و

وتقدير حرجية تحت Case(2) للتوصيل الى قرار معين للفرضية.

ويمكن ملاحظة كون هذا التوزيع بميزة اكبر الى الاتوء مما لو كانت

الحالة الاولى Case(1) هي المدروسة.

لقد اقترح الباحثان Dickey و Fuller اختباراً بدلاً تدرس الحالة الثانية

Case(2) مبنية على اساس مقدرات OLS لـ الفرضية العدم $\phi_1 = 1$. وهي^[6]:

$$\tau = \frac{\hat{\phi}_1 - 1}{\hat{\sigma}_{\hat{\phi}_1}} \dots (1-37)$$

حيث ان:

$$\hat{\sigma}_{\hat{\phi}_1}^2 = \hat{\sigma}^2 \begin{bmatrix} 0 & 1 \\ \sum Z_{t-1} & \sum Z_{t-1}^2 \end{bmatrix} \begin{bmatrix} 0 \\ 1 \end{bmatrix} \dots (1-38)$$

وان:

$$\hat{\sigma}^2 = (n-2)^{-1} \sum (Z_t - \hat{\alpha}_0 - \hat{\phi}_1 Z_{t-1})^2$$

بضرب الطرفين للصيغة رقم (1-38) بـ n^2 وباستخدام مصفوفة Z_n
المعرفة بالصيغة رقم (1-34) فان

$$n^2 \hat{\sigma}_{\phi}^2 \xrightarrow{P} \hat{\sigma}^2 \begin{bmatrix} 0 & \sigma^{-1} \\ \int w(r) dr & \int [w(r)]^2 dr \end{bmatrix}^{-1} \begin{bmatrix} 0 \\ \sigma^{-1} \end{bmatrix} \quad \dots \dots \dots (1-39)$$

وان

$$\hat{\sigma}^2 \xrightarrow{P} \sigma^2$$

وعليه فان التوزيع التقاربي لاختبار τ المعرف بالصيغة رقم (1-37) يساوي :

$$\begin{aligned} \tau = \frac{n(\hat{\phi}_1 - 1)}{\{n^2 \hat{\sigma}_{\phi_1}^2\}^{1/2}} &\xrightarrow{P} n(\hat{\phi}_1 - 1) \left\{ \int [w(r)]^2 dr - \left[\int w(r) dr \right]^2 \right\}^{1/2} \\ &\xrightarrow{P} \frac{\left(\frac{1}{2} \right) \{ [w(1)]^2 - 1 \} - w(1) \int w(r) dr}{\left\{ \int [w(r)]^2 dr - \left[\int w(r) dr \right]^2 \right\}^{1/2}} \quad \dots \quad (1-40) \end{aligned}$$

وان نسب العينة لقيمة الجدولية الخاصة بالصيغة (1-40) مسجلة في
جداول خاصة لـ Dickey-Fuller عند حجم (n) معينة ومستوى دلالة (α) معين
وتحت Case(2). للمقارنة وللتوصيل الى قرار معين في رفض فرضية العدم او
عدمه.

1-2-1 : اختبار مقترن لجذر الوحدة

في نموذج الانحدار الخطى البسيط Simple Linear Regression Model

الآتي:

$$Z_t = \phi_1 Z_{t-1} + a_t \quad , \quad t=1,2,\dots,n$$

حيث ان

Dependent Variable : المتغير المعتمد Z_t

Independent Variable : المتغير المستقل Z_{t-1}

ϕ_1 : معلمة الانحدار

$a_t \sim N(0, \sigma^2_a)$ حيث ان a_t
 وتوافر فرضيات التحليل الآتية [1]:-

$E(a_t) = 0$, $E(a_t^2) = \sigma^2_a$, $E(a_t a_h) = 0$ for $t \neq h$, $E(Z_{t-1} a_t) = 0$
 وبموجب الفرضية الآتية:-

$H_0 : \phi_1 = 1$
v.s. $H_1 : \phi_1 < 1$
وان مقدر OLS للمعلمة ϕ_1 :-

$$\hat{\phi}_1 = \frac{\sum_{t=1}^n Z_{t-1} Z_t}{\sum_{t=1}^n Z_{t-1}^2}$$

وهو أفضل مقدر خطى غير متحيز ومتسبق
Consistent and Best Linear Unbiased Estimator

لذلك يتم اقتراح استخدام احصاء t للانحدار الآتى في اختبار الفرضية:

$$t = \frac{\hat{\phi}_1 - 1}{SE\hat{\phi}_1} = \frac{\hat{\phi}_1 - 1}{\{\hat{\sigma}_a^2 / \sum Z_{t-1}^2\}^{1/2}} \dots\dots\dots (1-4)$$

ومقارنة قيمة t المستخرجة مع t الجدولية للانحدار بمستوى معنوية (α)
معين ودرجة حرية $(n-1)$ للتوصىلى قرار معين بعد المقارنة.
وللنماذج الآتى:-

$$Z_t = \alpha_0 + \phi_1 Z_{t-1} + a_t , t=1,2,\dots,n$$

حيث ان α_0 : يمثل الحد الثابت وتقديره بطريقة OLS هو :

$$\hat{\alpha}_0 = \bar{Z}_t - \hat{\phi}_1 \bar{Z}_{t-1}$$

وان:

$$\hat{\phi}_1 = \frac{\sum_{t=1}^n (Z_t - \bar{Z}_t)(Z_{t-1} - \bar{Z}_{t-1})}{\sum_{t=1}^n (Z_{t-1} - \bar{Z}_{t-1})^2}$$

وبتوافر فرضيات التحليل لنماذج الانحدار الخطى البسيط. وبموجب
فرضية عدم المذكورة افأ.
فيتم اقتراح تطبيق احصاء t الآتية للانحدار في اختبار الفرضية.

$$t = \frac{\hat{\phi}_1 - 1}{\{\hat{\sigma}_a^2 / S_{Z_{t-1}}\}^{1/2}} \dots \dots \dots \quad (1 - 42)$$

حيث ان:

$$S_{Z_{t-1}} = \left[\sum_{t=1}^n Z_{t-1}^2 - \left(\sum_{t=1}^n Z_{t-1} \right)^2 \right] / n$$

ونقارن قيمة t المحتسبة مع نظيرتها الجدولية بمستوى دلالة α معين ودرجة حرية $(n-2)$ للتوصل الى قرار معين.

علمًاً ان الاختبارين المقترنين يميلان الى جهة اليسار، ويعطيان فرصة للاختبار بغير العودة إلى جداول Dickey-Fuller المحددة الاستخدام والانتشار.

2 - تجارب المحاكاة لاستقرارية نموذج الانحدار الذاتي الطبيعي Simulation Experiments for Stationary Gaussian Autoregressive Model

يمكن استخدام المحاكاة Simulation للتوصل الى نتائج معينة وذلك بتوليد اعداد عشوائية (u_1, u_2) تتبع التوزيع المنتظم المستمر Uniform Distribution و تكون هذه مستقلة فيما بينها ، على ان تجتاز الاختبارات الخاصة بها لمعرفة مدى الملاءمة للتوزيع المنتظم المستمر أولاً والاستقلالية ثانياً. يلي ذلك توليد متغيرين عشوائيين يتبعان التوزيع الطبيعي Normal Distribution لتوليد السلسلة الزمنية الخاصة بالاخفاء العشوائية (a_t) التي تتبع التوزيع الطبيعي القياسي Standard Normal Distribution بوسط حسابي (صفر) وتبالين (واحد) باستخدام صيغة Box-Muller . وقد كتبت جميع البرامج الخاصة بالجانب التجاريبي وفق لغة Visual Basic6.0.

التجربة الأولى :

اختبارات استقرارية الوسط الحسابي (اتجاه عام خطى) وبصيغة: $\mu_t = \alpha_0 + \alpha_1 t$. تم تصميم تجربة المحاكاة باستخدام حجوم عينات مختلفة (25، 50، 100، 200) مع تكرار التجربة (1000) مرة لاختبار استقرارية الوسط الحسابي وتوليد سلسلة ذات اتجاه زمني μ_t .

وبقيم α_1 الافتراضية الآتية: 0.05, 0.10, 0.15 وقيمة α_0 الثابتة والمساوية إلى ($\alpha_0 = 0.1$) عند كل قيمة t . وان الزمن $t = 1, 2, \dots, n$ يتأثر بحجم العينة المختارة للتجربة. وتوليد السلسلة الزمنية الخاصة بالأخطاء العشوائية (a_t) التي تتبع التوزيع الطبيعي بمتوسط صفر وتباعن σ^2 ، فقد تم توليد الانحراف المعياري σ على وفق الصيغة الآتية:-

$$\sigma = \sqrt{\mu_t} * c.v$$

حيث ان $c.v$: يمثل معامل الاختلاف .Coefficient of Variation

وقد تم اخذ قيم افتراضية لمعامل $c.v$ الآتية*-

$c.v = 0.15, 0.25, 0.35, 0.45, 0.55, 0.65, 0.75, 0.85, 0.95, 0.99, 1.00, 1.30, 1.50, 2, 2.50$

وان μ_t يمثل الوسط الحسابي لقيمة μ_t وذلك بأخذ مجموع قيم μ_t المأخوذة من الصيغة الاولى لهذه المجموعة من المحاكاة [الموضحة وفق الصيغة رقم (1-2)] مقسوماً على حجم العينة عند α_0 الثابتة وكل معلمة α_1 افتراضية.

إلى ذلك فقد تم توليد السلسلة الزمنية Z_t غير المستقرة في الاتجاه الزمني لنموذج الانحدار على وفق الصيغة رقم (3-1) مع الحد الثابت وبقيم α_0 و α_1 المذكورة انفاً وتم تقدير المعلمتين α_0 و α_1 بأسلوب المربعات الصغرى OLS وتقدير التنبؤ للسلسلة الزمنية Z_t .

كما تم احتساب إحصاء t للانحدار والموضحة في المبحث رقم (1-1) من الجانب النظري لاختبار الفرضية في (1-5) (عند $\alpha_{10} = 0$) في جدول رقم (1)

* بالتشاور مع المختصين في وحدة بحوث العمليات/هيئة الكهرباء/بغداد.

في الملحق والنتائج^{*} موضحة في الجدول رقم (1) عند مستوى دلالي $\alpha=0.05$ و $\alpha=0.01$ (إذ ان قيمهما الجدولية موجودة في الجدول رقم (3) في الملحق) ومن ملاحظة الجدول نصل إلى انه:

- 1- عند اخذ قيم مختلفة لمعامل الاختلاف التي يكون $c.v \leq 0.55$ في توليد σ عند مختلف المعلمات الافتراضية α_1 وحجوم العينات فان النتائج تشير إلى ان البيانات المتولدة يكون لها اتجاه متاثر بالزمن ويتبين ان عدد التكرارات في عدم رفض الفرضية H_1 (بان الاتجاه موجود في البيانات المتولدة للسلسلة الزمنية) تصل إلى (1000) عند $n=25$ كما يصل هذا العدد في العينات المتوسطة الحجم عند $c.v=0.65, 0.75, 0.85$ وكذلك يلاحظ عند اردياد قيمة $c.v$ فان هذا العدد يكون عند العينات الكبيرة الحجم.
- 2- تلاحظ الزيادة في عدم معنوية الاختبار عند زيادة معامل الاختلاف. فعند قيم $c.v=1.30, 1.50, 2.00, 2.50$ لمختلف α_1 الافتراضية ولاسيما عند العينات الصغيرة، التي يتبيّن فيها ان البيانات لم يظهر لها اتجاه زمني وإنها تبدو مستقرة في المتوسط. في حين تزداد معنوية الاختبار بشكل متباين عند اردياد حجم العينة حتى تصل أعلى عدد عند $n=200$ والمساوي إلى (1000).
- 3- ان التغيير في قيمة الحد الثابت α_0 لا يؤثر في نتائج التجربة ولذلك فقد تم تثبيت هذه القيمة عند كل معلمة α_1 افتراضية.

* ان نتائج الاختبار الخاص باستقرارية الوسط الحسابي (اتجاه عام خطى) مبين في جدول رقم (3) في الملحق بعض من قيم $c.v$ المختلفة.

الجدول (1) : يبين عدد التكرارات في نجاح اختبار استقرارية الوسط الحسابي (اتجاه عام خطى) عند ($\alpha_0 = 0.1$) لحجوم عينات مختلفة ومستوى دلالة α معين وبتكرار (1000) مرة

| n | α | 0.05 | | | 0.01 | | |
|-----|----------|------------|------|------|------|------|------|
| | | α_1 | 0.05 | 0.10 | 0.15 | 0.05 | 0.10 |
| 25 | 0.95 | 706 | 769 | 799 | 417 | 514 | 550 |
| | 0.99 | 686 | 744 | 751 | 424 | 496 | 498 |
| | 1.00 | 654 | 725 | 764 | 395 | 471 | 497 |
| | 1.30 | 445 | 508 | 513 | 211 | 246 | 278 |
| | 1.50 | 344 | 409 | 417 | 135 | 197 | 186 |
| | 2.00 | 218 | 275 | 236 | 66 | 80 | 78 |
| | 2.50 | 152 | 193 | 177 | 48 | 58 | 65 |
| 50 | 0.95 | 971 | 979 | 985 | 895 | 916 | 917 |
| | 0.99 | 976 | 979 | 975 | 868 | 901 | 898 |
| | 1.00 | 956 | 968 | 977 | 853 | 878 | 895 |
| | 1.30 | 810 | 838 | 846 | 588 | 619 | 664 |
| | 1.50 | 694 | 736 | 771 | 462 | 467 | 513 |
| | 2.00 | 445 | 463 | 510 | 236 | 226 | 243 |
| | 2.50 | 312 | 334 | 359 | 140 | 133 | 134 |
| 100 | 0.95 | 1000 | 1000 | 1000 | 998 | 1000 | 998 |
| | 0.99 | 1000 | 1000 | 1000 | 999 | 999 | 999 |
| | 1.00 | 1000 | 1000 | 1000 | 996 | 997 | 998 |
| | 1.30 | 991 | 988 | 989 | 949 | 945 | 953 |
| | 1.50 | 964 | 947 | 976 | 865 | 863 | 890 |
| | 2.00 | 787 | 802 | 807 | 570 | 565 | 623 |
| | 2.50 | 569 | 592 | 586 | 348 | 367 | 332 |
| 200 | 0.95 | 1000 | 1000 | 1000 | 1000 | 1000 | 1000 |
| | 0.99 | 1000 | 1000 | 1000 | 1000 | 1000 | 1000 |
| | 1.00 | 1000 | 1000 | 1000 | 1000 | 1000 | 1000 |
| | 1.30 | 1000 | 1000 | 1000 | 1000 | 999 | 1000 |
| | 1.50 | 999 | 1000 | 1000 | 995 | 999 | 998 |
| | 2.00 | 979 | 979 | 982 | 919 | 927 | 940 |
| | 2.50 | 889 | 902 | 902 | 713 | 758 | 734 |

التجربة الثانية :

المقارنة بين إحصاءات اختبار جذر الوحدة (عدد التكرارات) للنموذج الطبيعي غير المستقر عند عدم توافر الحد الثابت وتسماى باختبارات جذر الوحدة- AR(1) حالة [1] (Unit Root Case (1)] .

للغرض المقارنة بين إحصاءات اختبار جذر الوحدة (عدد التكرارات) عند غياب الحد الثابت لنموذج الانحدار الذاتي الطبيعي غير المستقر ومن الرتبة الأولى AR(1)، تم تصميم تجربة محاكاة باستخدام حجوم عينات مختلفة (25، 50، 100، 200) مع تكرار التجربة (1000) مرة. وبهدف توليد سلسلة زمنية غير مستقرة التي تتبع النموذج الطبيعي من الرتبة الأولى AR(1) فقد تم اخذ الأخطاء العشوائية المتولدة (a_1) على وفق صيغة Box-Muller وبقيم المعلمات الافتراضية آلتية :- $\phi_1 = 0.80, 0.90, 0.95, 0.99, 1.00, 1.02, 1.05$

والتي تقع في او قريبة من المنطقة غير المستقرة للنموذج الطبيعي AR(1) وبذلك تم توليد بيانات السلسلة الزمنية Z_t غير المستقرة للنموذج المدروس وتقدير معلمة النموذج ϕ_1 باستخدام أسلوب OLS. وتم تطبيق الإحصاءات الخاصة بهذه التجربة (جذر الوحدة - حالة 1) والموضحة في المبحث رقم (2-1) من الجانب النظري لاختبار الفرضية المثبتة في (18-1) ووفق الصيغتين رقم (23-1) ورقم (27-1) وكذلك الصيغة رقم (41-1) المقترحة واحتسابها في الجدول رقم (4) في الملحق. والنتائج مبينة في الجدول رقم (2) الخاص باختبار جذر الوحدة عند غياب الحد الثابت وبمستوى دلالتي $\alpha=0.05$ و $\alpha=0.01$ (علمًا ان القيم الجدولية موجودة في جدول رقم (3) في الملحق والمأخوذة من جداول Fuller تحت case(1) الخاصة بالإحصائيتين $\hat{\phi}_1$ و t وقيم n).

ومن الجدول يتبيّن:

* تمت كتابة الرمز Z_p بدلاً من الرمز $(\hat{\phi}_1 - 1)$ والرمز Z_t بدلاً من τ في الرسومات فقط وذلك بسبب الرموز المتأتة في برامجيات رسم الاشتغال في اختبار جذر الوحدة لـ case(1) و case(2) كذلك.

الجدول (2): يبين المقارنة بين احصاءات اختبار جذر الوحدة (عدد التكرارات) عند عدم وجود الحد الثابت (الحالة 1) للنموذج (1) AR غير المستقر لحجوم عينات مختلفة ومستوى دلالة معين و لـ (1000) تكرار

| α | n | 25 | | | 50 | | | 100 | | | 200 | | |
|----------|------|-----------------------|--------|-----|-----------------------|--------|-----|-----------------------|--------|-----|-----------------------|--------|-----|
| | | $n(\hat{\phi}_1 - 1)$ | τ | t |
| 0.05 | 0.80 | 669 | 683 | 520 | 235 | 258 | 211 | 192 | 218 | 117 | 114 | 135 | 112 |
| | 0.90 | 868 | 869 | 780 | 676 | 678 | 505 | 369 | 372 | 309 | 131 | 146 | 116 |
| | 0.95 | 927 | 928 | 870 | 846 | 848 | 751 | 672 | 675 | 506 | 226 | 230 | 189 |
| | 0.99 | 933 | 937 | 885 | 930 | 931 | 874 | 926 | 929 | 866 | 890 | 896 | 784 |
| | 1.00 | 947 | 956 | 890 | 941 | 949 | 887 | 932 | 945 | 880 | 929 | 940 | 872 |
| | 1.02 | 935 | 940 | 870 | 901 | 908 | 739 | 805 | 812 | 512 | 534 | 571 | 218 |
| | 1.05 | 741 | 748 | 691 | 539 | 582 | 469 | 211 | 226 | 203 | 190 | 207 | 173 |
| 0.01 | 0.80 | 923 | 926 | 894 | 652 | 663 | 515 | 320 | 371 | 213 | 196 | 193 | 136 |
| | 0.90 | 971 | 973 | 961 | 922 | 927 | 867 | 687 | 691 | 327 | 288 | 284 | 229 |
| | 0.95 | 983 | 986 | 971 | 966 | 968 | 940 | 912 | 918 | 681 | 690 | 693 | 509 |
| | 0.99 | 984 | 987 | 979 | 980 | 985 | 968 | 967 | 980 | 952 | 965 | 973 | 830 |
| | 1.00 | 988 | 990 | 981 | 986 | 988 | 978 | 972 | 982 | 963 | 969 | 976 | 871 |
| | 1.02 | 970 | 978 | 968 | 962 | 967 | 889 | 891 | 898 | 604 | 699 | 717 | 487 |
| | 1.05 | 943 | 959 | 830 | 781 | 784 | 652 | 402 | 413 | 133 | 311 | 326 | 208 |

- زيادة العدد في نجاح اختبار البيانات المتولدة (بان لها جذراً مساوياً إلى الواحد) بعد تطبيق الاختبارات الثلاثة ($n(\hat{\phi}_1 - 1)$ و τ و t للانحدار المقترن عند زيادة قيمة المعلمة الافتراضية (مع ملاحظة ان اقل عدد في نجاح الاختبار عند $\phi_1 = 0.80$) ثم تبدأ بالانخفاض عندما تكون قيمة $\phi_1 > 1$) وهذا يشير إلى إن البيانات المتولدة غير مستقرة وإنها لها صفة السير العشوائي Random Walk.
- إن عدم فشل الاختبار لـ Dickey-Fuller والذي يقابل الاحصاءة τ تمثل إلى الازدياد (بدرجة اقل) مقارنة باحصاءة ($n(\hat{\phi}_1 - 1)$ عند جميع المعلمات الافتراضية
- عند تطبيق الاحصاءة المقترنة t للانحدار فان عدم معنوية المعلمة المقدرة عند المعلمات الافتراضية المختلفة تقل عند ازدياد حجم العينة ويتبين تأثر هذه الاحصاءة بشدة بحجم العينة. وهذا يعني عند ازدياد n فان نسبة ظهور معنوية

المعلمة المقدرة من الواحد تزداد وعليه يجب اخذ الفرق الأول للسلسلة الزمنية المتولدة.

4- إن أفضل أداء في الاختبار بصورة عامة هو عند الاحصاءة τ في جميع قيم ϕ_1 الافتراضية ولمختلف العينات. مع ملاحظة إن احصاءة t للانحدار لها اكبر رفض للاختبار. علماً إن أداء الاحصاءات الثلاث متشابهة بصورة عامة.

5- في العينات الكبيرة ($n=200$, $n=100$) فان اختبار t للانحدار يكون مرفوضاً على الأغلب عند بعض قيم المعلمات الافتراضية التي تكون قيمها اقل من الواحد واكبر منه. بينما الاختباران الأول والثاني يرفضان في $\phi_1=0.80$, $\phi_1=0.80$, 0.90 , 1.02 عند $n=100$ و $n=200$. ويعني هذا عند زيادة حجم العينة تزداد عدد المعلمات التي فيها رفض الاختبار.

6- يمكن القول أن أعلى عدد في نجاح الاختبار لاحصاءات الاختبار الثلاث عند العينات الصغيرة ويتناقص هذا العدد بزيادة حجم العينة ويصل اقلها عند $n=100$, $n=200$. وكذلك ان اكبر تكرار في حالات عدم رفض فرضية عدم هي $\phi_1=1$.

التجربة الثالثة :

المقارنة بين إحصاءات اختبار جذر الوحدة (عدد التكرارات) للنموذج الطبيعي AR(1) غير المستقر عند وجود الحد الثابت Constant وتسمى باختبارات جذر الوحدة - حالة (2) [Unit Root case (2)] .

تم اخذ السلسلة الزمنية المتولدة الخاصة بالأخطاء العشوائية (a_t) من التجربة الاولى للمجموعة الاولى وبنفس حجوم العينات المختلفة وقيم المعلمات الافتراضية المختلفة مع تكرار (1000) مرة. مع اخذ قيمة الحد الثابت $\alpha_0=0.1$ في جميع قيم ϕ_1 الافتراضية.

فتم توليد بيانات السلسلة الزمنية Z_t غير المستقرة لنموذج الانحدار الذاتي الطبيعي من الرتبة الاولى وتقدير معلمتي النموذج α_0 و α_1 بأسلوب OLS . وتم تطبيق الاحصاءات الخاصة بهذه التجربة (جذر الوحدة - حالة 2) والموضحة في المبحث رقم (2-1) من الجانب النظري لاختبار الفرضية المثبتة في (18-1)

وعلى وفق الصيغتان رقم (1-36) ورقم (1-40) والصيغة رقم (1-42) المقترحة واحتسابها في الجدول رقم (4) في الملحق. أما الجدول رقم (3) فيبين نتائج الاختبار الخاصة بجذر الوحدة عند وجود الحد الثابت ولمستوى دلالتي $\alpha=0.05$ و $\alpha=0.01$ (علمًا ان القيم الجدولية موضحة في جدول رقم (3) في الملحق والمأخوذة من جداول Fuller تحت (2) case الخاصة باحصائي $n(\hat{\phi}_1 - 1)$ و t وقيمة t الجدولية للانحدار). ويتبين من ملاحظة الجدول ما يأتي:

1- بعد تطبيق احصاءات الاختبار الثلاثة $n(\hat{\phi}_1 - 1)$ ، t ، t للانحدار المقترن يلاحظ الزيادة في عدد مرات نجاح اختبار البيانات المتولدة بان لها جذراً مساوياً إلى الواحد عند زيادة قيمة المعلمة الافتراضية ثم تبدأ بالانخفاض عندما تكون قيمة المعلمة أكبر من الواحد. وهذا يتطلب اخذ الفرق الأول للسلسلة المتولدة وصولاً إلى الاستقرارية.

الجدول (3)

يبين المقارنة بين إحصاءات اختبار جذر الوحدة (عدد التكرارات) عند ثبوت ($\alpha_0 = 0.1$) (الحالة 2) لنموذج AR(1) غير المستقر لحجوم عينات مختلفة ومستوى دلالة معين و لـ

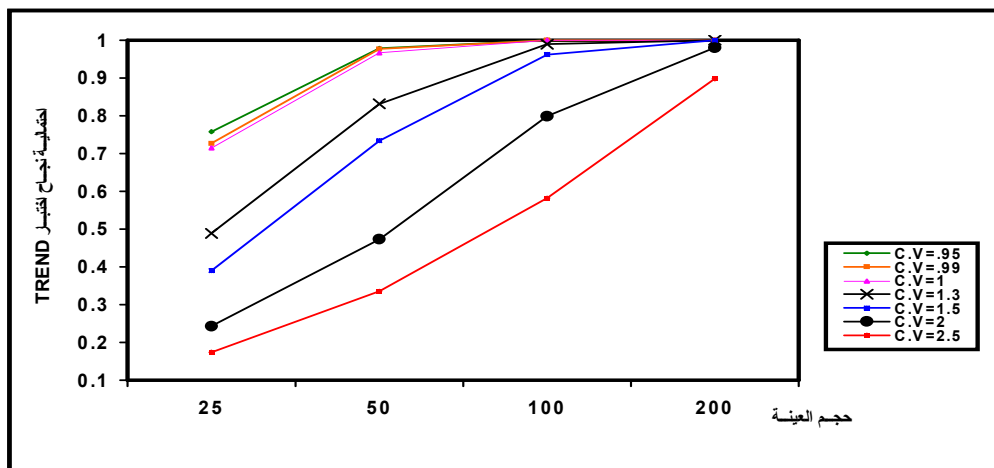
(1000) تكرار

| α | n | 25 | | | 50 | | | 100 | | | 200 | | |
|----------|------|----------------|-----------------------|-----|-----------------------|-----|-----|-----------------------|-----|-----|-----------------------|-----|-----|
| | | $\hat{\phi}_1$ | $n(\hat{\phi}_1 - 1)$ | t | $n(\hat{\phi}_1 - 1)$ | t | t | $n(\hat{\phi}_1 - 1)$ | t | t | $n(\hat{\phi}_1 - 1)$ | t | t |
| 500 | 0.80 | 814 | 887 | 318 | 508 | 694 | 294 | 254 | 236 | 221 | 193 | 179 | 101 |
| | 0.90 | 893 | 945 | 528 | 818 | 889 | 377 | 548 | 692 | 248 | 257 | 217 | 112 |
| | 0.95 | 927 | 960 | 611 | 887 | 941 | 481 | 827 | 898 | 471 | 525 | 688 | 245 |
| | 0.99 | 956 | 978 | 695 | 951 | 973 | 641 | 946 | 970 | 628 | 935 | 964 | 578 |
| | 1.00 | 969 | 983 | 794 | 964 | 981 | 729 | 950 | 976 | 712 | 948 | 970 | 706 |
| | 1.02 | 950 | 973 | 702 | 947 | 962 | 704 | 833 | 858 | 660 | 588 | 596 | 465 |
| | 1.05 | 931 | 951 | 693 | 883 | 893 | 697 | 289 | 297 | 114 | 216 | 223 | 105 |
| 1000 | 0.80 | 940 | 968 | 753 | 850 | 908 | 437 | 397 | 517 | 346 | 219 | 207 | 135 |
| | 0.90 | 978 | 985 | 854 | 947 | 977 | 721 | 853 | 938 | 370 | 342 | 529 | 186 |
| | 0.95 | 979 | 992 | 885 | 977 | 987 | 829 | 950 | 982 | 720 | 841 | 920 | 333 |
| | 0.99 | 990 | 995 | 929 | 989 | 993 | 913 | 988 | 990 | 898 | 978 | 983 | 872 |
| | 1.00 | 992 | 998 | 955 | 991 | 997 | 932 | 990 | 994 | 905 | 985 | 989 | 899 |
| | 1.02 | 983 | 987 | 939 | 978 | 982 | 923 | 962 | 971 | 865 | 738 | 767 | 681 |
| | 1.05 | 961 | 979 | 813 | 955 | 967 | 807 | 413 | 478 | 243 | 336 | 372 | 126 |

- 2- أن أعلى عدد في حالات عدم رفض الفرضية H_0 في الاحصاءات الثلاث عندما تكون قيمة $\phi_1 = 1$ وهذا يعني إن البيانات المتولدة لها صفة السير العشوائي Random Walk وإنها غير مستقرة.
- 3- تزداد معنوية فشل الاختبار عند ازدياد حجم العينة وخاصة عند $(n=100, 200)$. وهذا يعني تأثير احصاءات الاختبار هذه في حجم العينة العشوائية.
- 4- إن أعلى عدد في حالات نجاح الاختبار عند الاحصاءة t وان اوطأ عدد عند الاحصاءة t للانحدار. كذلك إن أعلى حالات رفض في هذه الاختبارات عند $\phi = 0.80, 0.90, 1.05$ وبشكل خاص في العينات الكبيرة.
- 5- التأثر الشديد للاحصاءة t للانحدار في اختبار معنوية المعلمة المقدرة بحجم العينة وفي قيمة المعلمة نفسها مقارنة بالإحصائيتين الأولى والثانية.

الاستنتاجات

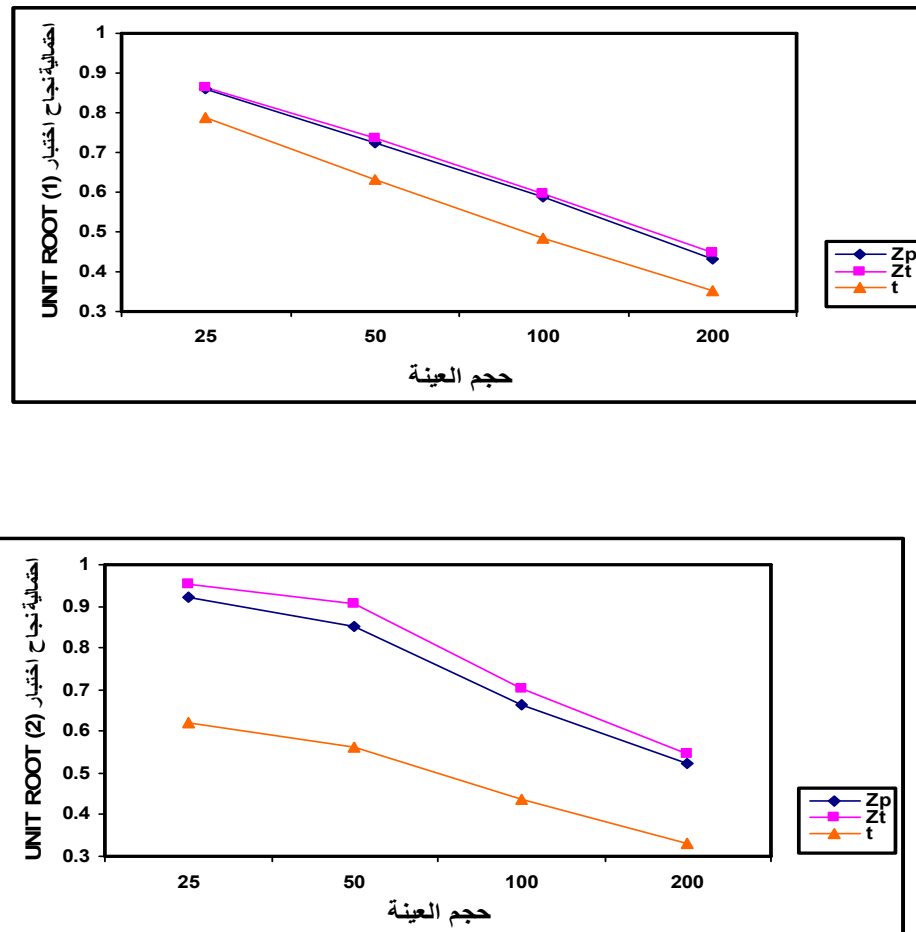
- يمكن ان نركز اهم الاستنتاجات التي تم الخوض عنها في البحث في جوانبه النظرية والتجريبية والتطبيقية على النحو الآتي :-
- 1 - زيادة قيمة معامل الاختلاف بكلام آخر زيادة الضوضاء (التشتت) Noise تؤثر في عملية رفض الفرضية البديلة H_1 او قبولها لأن الاتجاه الزمني موجود في البيانات وهي غير مستقرة في المتوسط.
 - 2 - يلاحظ في اختبار استقرارية الوسط الحسابي في الاتجاه العام الخطى وبصيغة t انه عند زيادة قيمة $c.v$ يصاحبها زيادة في رفض الفرضية H_1 . فعندما تكون قيمة $c.v = 2.50$ فان لها اوطأ سلوك في نجاح الاختبار على العكس فانه عند $c.v = 0.95$ يكون لها أعلى سلوك في الاختبار والشكل (1) يوضح ذلك .



(الشكل ١)

يظهر احتمالية نجاح اختبار استقرارية الوسط الحسابي (اتجاه عام خطى) عند قيم مختلفة لمعاملات الاختلاف وحجوم عينات ومستوى دلالة 0.05 وبتكرار (1000) مرة

3 - التوافق في سلوك إحصاءات الاختبار الثلاثة ($\hat{\phi}_1$, t و τ للانحدار، وان هذا السلوك بصورة عامة (عند غياب قيمة الثابت في السلسلة المتولدة او وجودها) متشابه. والشكل (2) يوضح أن سلوك الاختبارات الثلاثة يكون أعلى في حالة وجود قيمة الثابت α_0 ، كما أن أفضل أداء عند إحصاء اختبار τ بينما تكون إحصاء اختبار t للانحدار هي الاوطة.



شكل رقم (2)

يظهر احتمالية نجاح اختبار جذر الوحدة للنموذج (1) غير المستقر

لحجوم عينات مختلفة ومستوى دلالة 0.05 وبتكرار 1000 مرّة

الوصيات

1- العناية بالاختبارات الخاصة بعدم الاستقرارية ولا سيما نماذج

ARIMA(p,d,q) غير الطبيعية لأهميتها وتمثلها في اغلب الظواهر

سواء الاقتصادية، الجغرافية والهندسية.

2- العناية بالاختبارات الخاصة بالتكامل الكسري Fractional

Integration في نماذج ARIMA(p,d,q) لفروقات الكسرية.

المصادر

- 1 - الراوي، خاشع محمود - 1987 - (المدخل الى تحليل الانحدار) - مديرية دار الكتب للطباعة والنشر - جامعة بغداد.
- 2 - Box, George E. P. and Jenkins, Gwilym M., 1976 (Time Series Analysis Forecasting and Control), Holden-Day.
- 3 - Dickey, David A. and Fuller, Wayne A., 1979. (Distribution of the Estimators for Autoregressive Time Series with a Unit Root) - JASA, Vol. 74, No. 365, PP. 427-431.
- 4 - Dolado, Juan J., Gonzalo, Jesus and Mayoral, Laura, 2001. (A Fractional Dickey-Fuller Test) - This paper is part of Ph.D. of Laura Mayoral,
<http://www.econpapaers.edu/seminars/dolado.pdf>. PP.1-49.
- 5 - Fuller, Wayne A., 1976. (Introduction to Statistical Time Series)-John Willy & Sons, Inc.
- 6 - Hamilton, James D., 1994. (Time Series Analysis), Princeton University Press.
- 7 - Hansen , Bruce E., 2002. (Econometrics)
<http://www.ssc.wisc.edu/~bhansen/notes/contents.pdf>. PP.113-122.
- 8 - Oya, Kosuke and Toda, Hiro Y., 1998. (Dickey-Fuller, Lagrange Multiplier and Combined Tests for a Unit Root in Autoregressive Time Series), Journal of Time Series Analysis, Vol. 19, No. 3, PP. 325-347.
- 9 - Philips, Peter C. B. and Perron, Pierre – 1988 – (Testing for a Unit Root in Time Series Regression) – Biometrika, Vol. 75, No. 2, PP.(335-346).
- 10 - Said, Said E. and Dickey, David A., 1984.(Testing for Unit Roots in Autoregressive – Moving Average Models of Unknown Order) – Biometrika, Vol. 71, No. 3, PP.599-607.
- 11 - Wei, William W. S., 1990. (Time Series Analysis). Addison Wesley publishing Company.

الجدول رقم (1)

يبين معدل القيم المحسوبة لإحصاء اختبار استقرارية الوسط الحسابي (اتجاه عام خطى) عند
 $\alpha_0=0.1$) و لحجم عينات مختلفة من 1000 تكرار

| n | α_1 c.v | 0.05 | 0.10 | 0.15 |
|-----|-------------------|-------|-------|-------|
| 25 | 0.95 | 2.716 | 2.905 | 2.995 |
| | 0.99 | 2.651 | 2.802 | 2.870 |
| | 1.00 | 2.566 | 2.787 | 2.852 |
| | 1.30 | 1.977 | 2.170 | 2.218 |
| | 1.50 | 1.714 | 1.896 | 1.903 |
| | 2.00 | 1.391 | 1.514 | 1.410 |
| | 2.50 | 1.199 | 1.279 | 1.251 |
| 50 | 0.95 | 3.981 | 4.186 | 4.195 |
| | 0.99 | 3.876 | 4.068 | 4.124 |
| | 1.00 | 3.851 | 4.028 | 4.044 |
| | 1.30 | 2.980 | 3.082 | 3.120 |
| | 1.50 | 2.573 | 2.630 | 2.740 |
| | 2.00 | 1.933 | 1.988 | 2.036 |
| | 2.50 | 1.561 | 1.652 | 1.683 |
| 100 | 0.95 | 5.896 | 6.004 | 6.093 |
| | 0.99 | 5.620 | 5.742 | 5.771 |
| | 1.00 | 5.635 | 5.686 | 5.692 |
| | 1.30 | 4.289 | 4.371 | 4.401 |
| | 1.50 | 3.726 | 3.792 | 3.838 |
| | 2.00 | 2.798 | 2.829 | 2.928 |
| | 2.50 | 2.220 | 2.251 | 2.253 |
| 200 | 0.95 | 8.498 | 8.543 | 8.617 |
| | 0.99 | 8.122 | 8.192 | 8.189 |
| | 1.00 | 8.000 | 8.083 | 8.139 |
| | 1.30 | 6.151 | 6.262 | 6.259 |
| | 1.50 | 5.319 | 5.440 | 5.500 |
| | 2.00 | 4.021 | 4.028 | 4.081 |
| | 2.50 | 3.182 | 3.285 | 3.235 |

(2) الجدول

يبين عدد التكرارات في نجاح اختبار استقرارية الوسط الحسابي (اتجاه عام خطى) عند ($\alpha_0 = 0.1$) لبعض من قيم $c.v$ المختلفة لحجوم عينات ومستوى دلالة α معين وبتكرار (1000) مرة

| | 0.05 | | | 0.01 | | | القيمة المحتسبة | | |
|---|------|------|------|------|------|------|-----------------|--------|--------|
| | 0.05 | 0.10 | 0.15 | 0.05 | 0.10 | 0.15 | 0.05 | 0.10 | 0.15 |
| 5 | 1000 | 1000 | 1000 | 1000 | 1000 | 1000 | 17.118 | 18.447 | 18.677 |
| 5 | 1000 | 1000 | 1000 | 1000 | 1000 | 1000 | 10.301 | 11.007 | 11.330 |
| 5 | 1000 | 1000 | 1000 | 1000 | 1000 | 1000 | 7.382 | 7.900 | 8.106 |
| 5 | 1000 | 1000 | 1000 | 993 | 1000 | 1000 | 5.721 | 6.144 | 6.288 |
| 5 | 990 | 997 | 999 | 944 | 966 | 980 | 4.666 | 4.942 | 5.196 |
| 5 | 960 | 973 | 986 | 833 | 877 | 916 | 3.977 | 4.238 | 4.411 |
| 5 | 895 | 933 | 940 | 713 | 768 | 788 | 3.440 | 3.702 | 3.749 |
| 5 | 786 | 839 | 853 | 555 | 630 | 645 | 3.036 | 3.236 | 3.267 |
| 5 | 1000 | 1000 | 1000 | 1000 | 1000 | 1000 | 25.614 | 26.654 | 26.973 |
| 5 | 1000 | 1000 | 1000 | 1000 | 1000 | 1000 | 15.326 | 15.985 | 16.106 |
| 5 | 1000 | 1000 | 1000 | 1000 | 1000 | 1000 | 10.877 | 11.382 | 11.467 |
| 5 | 1000 | 1000 | 1000 | 1000 | 1000 | 1000 | 8.518 | 8.940 | 8.903 |
| 5 | 1000 | 1000 | 1000 | 1000 | 1000 | 1000 | 6.959 | 7.257 | 7.405 |
| 5 | 1000 | 1000 | 1000 | 1000 | 998 | 1000 | 5.934 | 6.194 | 6.241 |
| 5 | 998 | 1000 | 1000 | 982 | 998 | 997 | 5.047 | 5.363 | 5.419 |
| 5 | 990 | 994 | 997 | 964 | 966 | 973 | 4.545 | 4.689 | 4.744 |
| 5 | 1000 | 1000 | 1000 | 1000 | 1000 | 1000 | 37.268 | 38.047 | 38.210 |
| 5 | 1000 | 1000 | 1000 | 1000 | 1000 | 1000 | 22.495 | 22.826 | 23.034 |
| 5 | 1000 | 1000 | 1000 | 1000 | 1000 | 1000 | 16.021 | 16.249 | 16.468 |
| 5 | 1000 | 1000 | 1000 | 1000 | 1000 | 1000 | 12.399 | 12.669 | 12.866 |
| 5 | 1000 | 1000 | 1000 | 1000 | 1000 | 1000 | 10.201 | 10.410 | 10.396 |
| 5 | 1000 | 1000 | 1000 | 1000 | 1000 | 1000 | 8.576 | 8.812 | 8.836 |
| 5 | 1000 | 1000 | 1000 | 1000 | 1000 | 1000 | 7.398 | 7.630 | 7.662 |
| 5 | 1000 | 1000 | 1000 | 1000 | 1000 | 1000 | 6.594 | 6.752 | 6.740 |
| 5 | 1000 | 1000 | 1000 | 1000 | 1000 | 1000 | 53.705 | 54.137 | 54.319 |
| 5 | 1000 | 1000 | 1000 | 1000 | 1000 | 1000 | 32.072 | 32.377 | 32.574 |
| 5 | 1000 | 1000 | 1000 | 1000 | 1000 | 1000 | 22.989 | 23.179 | 23.356 |
| 5 | 1000 | 1000 | 1000 | 1000 | 1000 | 1000 | 17.842 | 18.063 | 18.092 |
| 5 | 1000 | 1000 | 1000 | 1000 | 1000 | 1000 | 14.603 | 14.717 | 14.817 |
| 5 | 1000 | 1000 | 1000 | 1000 | 1000 | 1000 | 12.313 | 12.455 | 12.552 |
| 5 | 1000 | 1000 | 1000 | 1000 | 1000 | 1000 | 10.782 | 10.771 | 10.896 |
| 5 | 1000 | 1000 | 1000 | 1000 | 1000 | 1000 | 9.467 | 9.567 | 9.562 |

الجدول (3) : يبين القيم الجدولية لاحصاءات الاختبار الخاصة
الأستقرارية عند مستوى دلالي 0.05 و 0.01

| الحالة | n | 25 | 50 | 100 | 200 |
|--------------------|------------------------|----------------|------------------|------------------|-----------------|
| Test | Trend | 2.069* | 2.0126 | 1.9873 | 1.960 |
| | t | 2.807** | 2.6864 | 2.6328 | 2.576 |
| Unit Root Case (1) | $n(\phi^{\wedge} - 1)$ | -7.3 -11.9 | -7.7 -12.9 | -7.9 -13.3 | -7.97 -13.5 |
| | τ | -1.95 -2.66 | -1.95 -2.62 | -1.95 -2.60 | -1.95 -2.59 |
| | t | 1.711 2.492 | 1.678 2.408 | 1.6625 2.3692 | 1.645 2.326 |
| Unit Root Case (2) | $n(\phi^{\wedge} - 1)$ | -12.5 -17.2 | -13.3 -18.9 | -13.7 -19.8 | -13.9 -20.13 |
| | τ | -3.00 -3.75 | -2.93 -3.58 | -2.89 -3.51 | -2.883 -3.48 |
| | t | 1.714 2.500 | 1.6788 2.4098 | 1.6628 2.3697 | 1.645 2.326 |

*القيمة الجدولية عند مستوى دلالة 0.05.

**القيمة الجدولية عند مستوى دلالة 0.01.

الجدول (4): يبين معدل القيم المحسوبة لاحصاءات اختبار جذر الوحدة لـ (حالة 1 ، حالة 2)
لحجوم عينات مختلفة من 1000 تكرار

| | n | 25 | | | 50 | | | 100 | | | 200 | | |
|----------|------|----------|-----------------------|--------|--------|-----------------------|--------|--------|-----------------------|--------|--------|-----------------------|--------|
| | | ϕ_1 | $n(\hat{\phi}_{1-1})$ | τ | t | $n(\hat{\phi}_{1-1})$ | τ | T | $n(\hat{\phi}_{1-1})$ | τ | t | $n(\hat{\phi}_{1-1})$ | τ |
| Case (1) | 0.80 | 6.411 | 1.74 | 1.74 | 11.629 | 2.441 | 2.441 | 12.569 | 3.384 | 3.384 | 16.531 | 3.561 | 3.561 |
| | 0.90 | 4.022 | 1.256 | 1.256 | 6.703 | 1.727 | 1.727 | 10.528 | 2.351 | 2.351 | 13.803 | 3.309 | 3.309 |
| | 0.95 | 2.900 | 0.998 | 0.998 | 4.35 | 1.284 | 1.284 | 6.807 | 1.704 | 1.704 | 11.923 | 2.359 | 2.359 |
| | 0.99 | 2.471 | 0.916 | 0.916 | 2.532 | 0.920 | 0.920 | 3.045 | 0.992 | 0.992 | 3.918 | 1.178 | 1.178 |
| | 1.00 | 2.238 | 0.902 | 0.902 | 2.116 | 0.872 | 0.872 | 2.341 | 0.910 | 0.910 | 2.731 | 0.861 | 0.861 |
| | 1.02 | 1.814 | 0.958 | 0.958 | 1.906 | 1.224 | 1.224 | 2.119 | 2.830 | 2.830 | 2.104 | 3.126 | 3.126 |
| | 1.05 | 1.971 | 1.405 | 1.405 | 2.413 | 4.417 | 4.417 | 4.385 | 5.279 | 5.279 | 4.986 | 7.381 | 7.381 |
| Case (2) | 0.80 | 8.925 | 2.096 | 2.096 | 13.827 | 2.681 | 2.681 | 15.962 | 3.528 | 3.528 | 17.137 | 3.849 | 3.849 |
| | 0.90 | 6.858 | 1.742 | 1.742 | 9.307 | 2.07 | 2.07 | 13.857 | 2.588 | 2.588 | 15.609 | 3.479 | 3.479 |
| | 0.95 | 5.997 | 1.570 | 1.570 | 7.287 | 1.755 | 1.755 | 9.544 | 2.058 | 2.058 | 14.443 | 2.609 | 2.609 |
| | 0.99 | 5.065 | 1.396 | 1.396 | 5.482 | 1.449 | 1.449 | 5.705 | 1.477 | 1.477 | 6.230 | 1.560 | 1.560 |
| | 1.00 | 4.843 | 1.341 | 1.341 | 4.592 | 1.256 | 1.256 | 4.269 | 1.187 | 1.187 | 3.443 | 1.003 | 1.003 |
| | 1.02 | 3.88 | 1.125 | 1.125 | 3.153 | 0.930 | 0.930 | 2.149 | 1.004 | 1.004 | 3.857 | 3.756 | 3.756 |
| | 1.05 | 3.108 | 0.936 | 0.936 | 2.547 | 0.811 | 0.811 | 4.895 | 5.341 | 5.341 | 7.999 | 18.606 | 18.606 |